УДК 621.315

ЭНЕРГИЯ СВЯЗИ ВОДОРОДОПОДОБНОЙ ПРИМЕСИ В КВАНТОВОЙ ТОЧКЕ С ВЫПУКЛЫМ ДНОМ В МАГНИТНОМ ПОЛЕ

А.Х. МАНАСЕЛЯН, А.А. КИРАКОСЯН

Ереванский государственный университет

(Поступила в редакцию 11 февраля 2005 г.)

В рамках приближения эффективной массы, вариационным методом рассчитаны электронные и примесные состояния в сферической квантовой точке с выпуклым дном в магнитном поле. Расчеты проведены для примеси, находящейся в центре квантовой точки. Получены зависимости энергии связи примеси от радиуса КТ, меры изогнутости дна квантовой ямы и индукции магнитного поля для системы из $Ga_{1-x}Al_xAs_yGa_{1-y}Al_yAs_x$.

1. Введение

В последние годы резко возросло число работ, посвященных исследованию свойств квантовых точек (КТ), содержащих водородоподобные примесные центры [1-4]. Такие КТ широко используются в оптоэлектронных устройствах и в полупроводниковых лазерных системах, поэтому исследование примесных состояний и их влияния на кинетические и оптические процессы в КТ имеют не только чисто научное, но и большое прикладное значение.

Во многих работах [5-14] рассмотрены электронные и примесные состояния в КТ, имеющих различные геометрические формы и ограничивающие потенциалы и найдены энергии связи примеси, когда она находится в центре КТ. Исследованию влияния магнитного поля на электронные и примесные состояния в КТ посвящены работы [15-24]. Согласно полученным результатам, для примеси, находящейся в центре КТ, увеличение магнитной индукции приводит к росту энергии связи.

В данной работе, в рамках метода эффективной массы вариационным методом рассчитана энергия связи водородоподобной примеси в сферической КТ с изогнутым дном в магнитном поле, когда примесь находится в центре КТ. Конкретный профиль дна КТ обеспечивается условиями выращивания. Так, выпуклости дна квантовой ямы из $Ga_{1-x}Al_xAs/Ga_{1-y}Al_yAs$ можно добиться плавным изменением концентрации сплава y от максимального значения в центре КТ до нулевого значения на границе квантовой ямы.

2. Электронные состояния

Рассмотрим квантовую точку с выпуклым дном в магнитном поле. Для упрощения расчетов пренебрежем разницей эффективной массы электрона в КТ и в окружающей среде, а также диэлектрической неоднородностью системы. Гамильтониан электрона в рассматриваемой системе

$$\hat{H}_0 = \frac{1}{2m} \left(\hat{\mathbf{P}} + \frac{e}{c} \mathbf{A} \right)^2 + V(r), \tag{1}$$

где m — эффективная масса электрона, A — вектор-потенциал магнитного поля, а ограничивающий потенциал

$$V(r) = \begin{cases} U_0 \left(1 - \frac{r^2}{R^2} \right), & r \le R, \\ V_0 & r > R. \end{cases}$$
 (2)

Для однородного магнитного поля ${\bf B}(0,0,B)$, направленного вдоль оси z, вектор-потенциал выберем в виде ${\bf A}=[{\bf Br}]/2$. Тогда уравнение Шредингера будет иметь вид

$$\left[-\nabla^2 - i\frac{eB}{\hbar} + \frac{1}{4}\left(\frac{eB}{\hbar}\right)^2 r^2 \sin^2\theta\right] \psi + \frac{2m}{\hbar^2} [V(r) - E] \psi = 0.$$
 (3)

Введем магнитную длину $l_B=(\hbar/eB)^2$, эффективный боровский радиус $a_B=\hbar^2\chi/me^2$, эффективную ридберговскую энергию $E_R=me^4/2\hbar^2\chi^2$ (χ — диэлектрическая постоянная системы) и следующие безразмерные параметры: $x=r/a_B$, $\varepsilon=E/E_R$, $v=V/R_R$, $a=R/a_B$, $v_0=V_0/E_R$, $u_0=U_0/E_R$, $\gamma=a_B^2/l_B^2$. После перехода к безразмерным параметрам уравнение Шредингера примет вид

$$\left[-\nabla^2 - i\gamma \frac{\partial}{\partial \varphi} + \frac{1}{4}\gamma^2 x^2 \sin^2 \theta\right] \psi + v(x)\psi = \varepsilon \psi. \tag{4}$$

В отсутствие магнитного поля ($\gamma = 0$) решение уравнения (4) для основного состояния дается выражением

$$\psi_{0}(x) = C_{1} \begin{cases} e^{-\frac{1}{2}i\lambda x^{2}} F\left(\frac{3}{4} + \frac{ik_{w}^{2}}{4\lambda}, \frac{3}{2}; i\lambda x^{2}\right), & x \leq a, \\ C_{2} \frac{1}{x} e^{-k_{b}x}, & x < a, \end{cases}$$
 (5)

где введены обозначения: $k_w = (\varepsilon - u_0)^{1/2}$, $k_b = (v_0 - \varepsilon)^{1/2}$, $\lambda = (u_0 / a^2)^{1/2}$,

$$C_{1} = \left\{ \int_{0}^{a} \left| F\left(\frac{3}{4} + \frac{ik_{w}^{2}}{4\lambda}, \frac{3}{2}; i\lambda x^{2}\right) \right|^{2} x^{2} dx + \frac{\left|C_{2}\right|^{2}}{2k_{b}} e^{-2k_{b}a} \right\}^{-1/2}, C_{2} = ae^{-k_{b}a} e^{-\frac{1}{2}i\lambda a^{2}} F\left(\frac{3}{4} + \frac{ik_{w}^{2}}{4\lambda}, \frac{3}{2}; i\lambda a^{2}\right), (6)$$

а F(a,b;z) – вырожденная гипергеометрическая функция [25]. Энергию основного состояния ε_0 определим из условия непрерывности логарифмической производной волновой функции на границе квантовой точки (x=a):

$$i\lambda a - i\lambda a \left(1 + \frac{ik_w^2}{3\lambda}\right) \frac{F\left(\frac{7}{4} + \frac{ik_w^2}{4\lambda}, \frac{5}{2}; i\lambda a^2\right)}{F\left(\frac{3}{4} + \frac{ik_w^2}{4\lambda}, \frac{3}{2}; i\lambda a^2\right)} = \frac{1}{a} + k_b$$
 (7)

При наличии магнитного поля ($\gamma \neq 0$), пользуясь предложенным в [26] улучшенным вариационным методом, вариационную волновую функцию представим в виде

$$\psi_{1}(x,\theta) = N_{1}e^{-\beta x}e^{-\frac{1}{4}\gamma x^{2}\sin^{2}\theta} \begin{cases} e^{-\frac{1}{2}i\lambda x^{2}}F\left(\frac{3}{4} + \frac{ik_{w}^{2}}{4\lambda}, \frac{3}{2}; i\lambda x^{2}\right), & x \leq a, \\ C_{2}\frac{1}{x}e^{-k_{y}x}, & x > a, \end{cases}$$
(8)

где β – вариационный параметр, $N_1 = (2\pi A_1)^{-1/2}$ – коэффициент нормировки,

$$A_{1} = \left(\frac{2\pi}{\gamma}\right)^{1/2} \int_{0}^{a} x e^{-2\beta x} e^{-\gamma x^{2}/2} \operatorname{erfi}\left[\left(\frac{\gamma}{2}\right)^{1/2} x\right] \left| F\left(\frac{3}{4} + \frac{ik_{w}^{2}}{4\lambda}, \frac{3}{2}; i\lambda x^{2}\right) \right|^{2} dx + \left(\frac{2\pi}{\gamma}\right)^{1/2} \left| C_{2} \right|^{2} \int_{a}^{\infty} e^{-2\beta x} e^{-\gamma x^{2}/2} e^{-2k_{\mu}x} \operatorname{erfi}\left[\left(\frac{\gamma}{2}\right)^{1/2} x\right] \frac{dx}{x},$$
(9)

erfi(z) – комплексный интеграл ошибок [25].

Энергия электрона в основном состоянии дается формулой

$$\varepsilon_{1} = 2\pi \int_{0}^{\pi} \int_{0}^{\pi} \psi_{1}^{*} \hat{H}_{0} \psi_{1} x^{2} \sin \theta dx d\theta + 2\pi \int_{0}^{\infty} \int_{0}^{\pi} \psi_{1}^{*} \hat{H}_{0} \psi_{1} x^{2} \sin \theta dx d\theta , \qquad (10)$$

откуда, воспользовавшись гамильтонианом (1) и выражением для волновой функции (8), получим

$$\varepsilon_1 = \varepsilon_0 + \beta^2 + \gamma + \frac{D_1 + D_2}{A_1}, \qquad (11)$$

где

$$D_{1} = i\lambda \int_{0}^{a} x e^{-2\beta x} \left\{ \left(\frac{2\pi}{\gamma} \right)^{1/2} e^{-\frac{1}{2}\gamma x^{2}} \left(\gamma x^{2} + 1 \right) \operatorname{erfi} \left[\left(\frac{\gamma}{2} \right)^{1/2} x \right] - 2x \right\} f(x) dx, \qquad (12)$$

$$D_{2} = -\left|C_{2}\right|^{2} \int_{a}^{\infty} \frac{1}{x^{2}} e^{-2\beta x} e^{-2k_{b}x} \left(\frac{1}{x} + k_{b}\right) \left\{ \left(\frac{2\pi}{\gamma}\right)^{1/2} e^{-\frac{1}{2}\gamma x^{2}} \left(\gamma x^{2} + 1\right) \operatorname{erfi}\left[\left(\frac{\gamma}{2}\right)^{1/2} x\right] - 2x \right\} dx, \quad (13)$$

$$f(x) = \left(1 + \frac{ik_{w}^{2}}{3\lambda}\right)F\left(\frac{3}{4} - \frac{ik_{w}^{2}}{4\lambda}, \frac{3}{2}; -i\lambda x^{2}\right)F\left(\frac{7}{4} + \frac{ik_{w}^{2}}{4\lambda}, \frac{5}{2}; i\lambda x^{2}\right) - \left|F\left(\frac{3}{4} + \frac{ik_{w}^{2}}{4\lambda}, \frac{3}{2}; i\lambda x^{2}\right)\right|^{2}. (14)$$

3. Примесные состояния

Рассмотрим квантовую точку с выпуклым дном, в центре которой находится заряженный водородоподобный примесный центр. В этом случае следует в гамильтониане (1) добавить потенциальную энергию взаимодействия электрона с примесью $V_{imp}(r) = -r^2/\chi r$. Уравнение Шредингера с гамильтонианом (1) в безразмерных параметрах примет вид

$$\left[-\nabla^2 - i\gamma \frac{\partial}{\partial \varphi} + \frac{1}{4}\gamma^2 x^2 \sin^2 \theta + v(x) - \frac{2}{x}\right] \psi = \varepsilon \psi . \tag{15}$$

Выберем вариационную волновую функцию основного состояния в виде

$$\psi_{1}^{imp}(x,\theta) = N_{2}e^{-\beta_{2}x}e^{\frac{1}{4}\gamma x^{2}\sin^{2}\theta} \begin{cases} e^{\frac{1}{2}i\lambda x^{2}}F\left(\frac{3}{4} + \frac{ik_{w}^{2}}{4\lambda}, \frac{3}{2}; i\lambda x^{2}\right), & x \leq a, \\ C_{2}\frac{1}{x}e^{-k_{k}x}, & x > a, \end{cases}$$
(16)

где β_2 – вариационный параметр, $N_2 = (2\pi A_2)^{-1/2}$, а коэффициент A_2 дается выражением (9) с заменой в нем β на β_2 . С помощью (15) и (16) для энергии основного состояния при наличии примеси получим выражение

$$\varepsilon_1^{imp} = \varepsilon_0 + \beta_2^2 + \gamma + \frac{D_1^i + D_2^i}{A_2} - 2\frac{G_1^i + G_2^i}{A_2} , \qquad (17)$$

где D_1^i и D_2^i даются соответственно выражениями (12) и (13) с заменой β на β_2 ,

$$G_{1}^{i} = \left(\frac{2\pi}{\gamma}\right)^{1/2} \int_{0}^{a} e^{-2\beta_{2}x} e^{-\gamma x^{2}/2} \operatorname{erfi}\left[\left(\frac{\gamma}{2}\right)^{1/2} x\right] \left| F\left(\frac{3}{4} + \frac{ik_{w}^{2}}{4\lambda}, \frac{3}{2}; i\lambda x^{2}\right) \right|^{2} dx,$$
 (18)

$$G_2^{i} = \left(\frac{2\pi}{\gamma}\right)^{1/2} \left|C_2\right|^2 \int_a^{\infty} e^{-2\beta_2 x} e^{-\gamma x^2/2} e^{-2k_8 x} \operatorname{erfi}\left[\left(\frac{\gamma}{2}\right)^{1/2} x\right] \frac{dx}{x^2}.$$
 (19)

Энергию связи определим как разность энергий электрона в КТ без примеси и с примесью: $\varepsilon_b = \varepsilon_1 - \varepsilon_1^{imp}$.

4. Обсуждение результатов

Численные расчеты проведены для системы из GaAs/Ga_{1-y}Al_yAs, со значениями параметров $m=0.067m_0$ (m_0 — масса свободного электрона), $\chi=13.18,~E_R=5.2~{\rm MpB},~a_B=104~{\rm Å},~v_0=50$ (концентрация сплава $x\approx0.35$) [27]. Для GaAs значению $\gamma=1$ соответствует магнитное поле с индукцией B=6T.

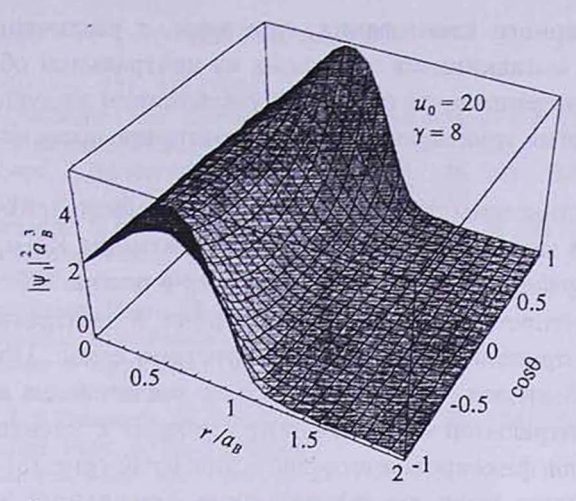


Рис.1. Плотность вероятности для основного состояния.

На рис.1 представлены графики безразмерной плотности вероятности в зависимости от расстояния r и $\cos\theta$ (θ — азимутальный угол) для различных значений магнитного поля и параметра выпуклость дна КТ u_0 в отсутствие примесного центра. Как видно из рисунка, выпуклость дна КТ приводит к смещению максимума плотности вероятности из центральной части КТ. Из-за магнитного квантования электрон локализуется в плоскости, перпендикулярной направлению магнитного поля. Конкуренция этих тенденций приводит к тому, что электрон с наибольшей вероятностью локализуется возле границы КТ вблизи оси z ($\cos\theta \approx \pm 1$).

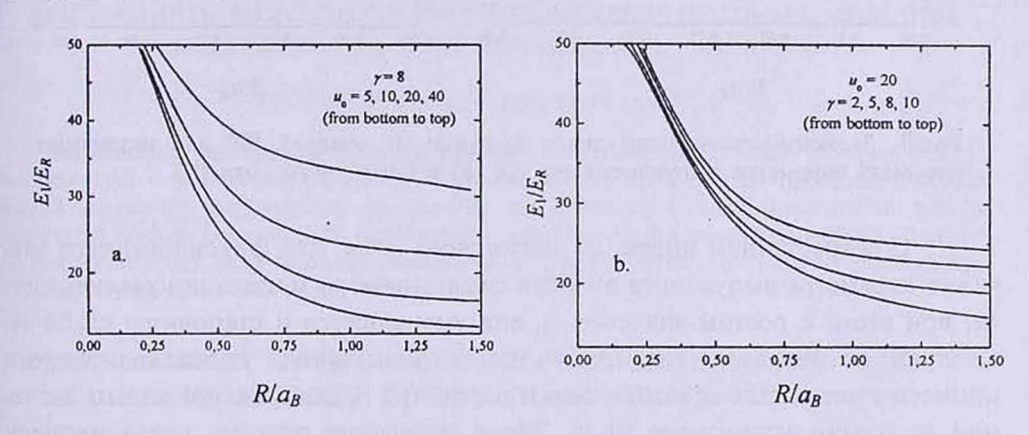


Рис.2. Зависимость энергии основного состояния от радиуса КТ для различных значений параметра выпуклости дна КТ (a) и магнитного поля (b).

На рис.2 представлены зависимости энергии основного состояния электрона от радиуса КТ при различных значениях u_0 и индукции магнитного поля. При фиксированном значении индукции магнитного поля ($\gamma = 8$, рис.2a) с увеличением радиуса КТ уровень энергии понижается из-за умень-

шения роли размерного квантования, при этом, с увеличением u_0 энергия повышается из-за выталкивания электрона из центральной области КТ. При фиксированном значении u_0 =20 (рис.2b) с увеличением индукции магнитного поля уровень энергии повышается из-за возрастания роли магнитного квантования.

На рис.3 приведены зависимости энергии связи примеси от радиуса КТ при различных значениях параметра выпуклости дна КТ и индукции магнитного поля в случае, когда примесь находится в центре КТ. С увеличением радиуса КТ вероятность нахождения электрона в центральной части КТ уменьшается, что приводит к уменьшению энергии связи. При фиксированном значении магнитного поля γ =8 (рис.3а) с увеличением u_0 электрон выталкивается из центральной части КТ, что приводит к уменьшению энергии связи примеси. Для фиксированного значения u_0 =20 (рис.3b) с увеличением индукции магнитного поля усиливается роль магнитного квантования, и энергия связи примеси увеличивается.

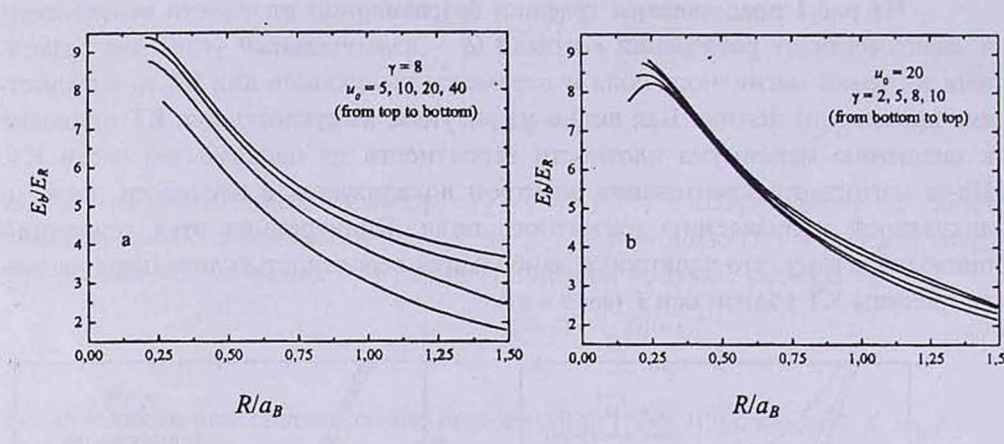


Рис.3. Зависимость энергии связи примеси от радиуса КТ для различных значений параметра выпуклости дна КТ (a) и магнитного поля (b).

С возрастанием индукции магнитного поля, для фиксированного значения параметра выпуклости энергия связи примеси монотонно увеличивается, при этом, с ростом значения u_0 она уменьшается и становится слабо зависящей от индукции магнитного поля. Аналогичное поведение энергии примеси имеет место при изменении параметра u_0 для фиксированных значений индукции магнитного поля. Такое поведение энергии связи примеси обусловлено вытеснением электрона из центральной области КТ, что усиливается как с ростом выпуклости дна, так и с ослаблением магнитного поля.

Работа выполнена в рамках государственной целевой программы Республики Армения "Полупроводниковая наноэлектроника" и при поддержке гранта ANSEF 04-ps-condmatth 813-95.

ЛИТЕРАТУРА

- 1. A.P.Alivasatos, Science, 271, 933 (1996).
- 2. T.Chakraborty. Quantum Dots. Elsevier science, Amsterdam/New York, 1999.
- 3. M.A.Cusack, P.R.Briddon, M.Jaros. Physica B, 253, 10 (1998).
- 4. M.Pacheco, A.Leon, Z.Barticevic. Phys. Stat. Sol. (b), 146, 235 (2003).
- 5. J.L.Zhu, J.J.Xiong, B.L.Gu. Phys. Rev. B, 41, 6001 (1990).
- 6. N.Porras-Montenegro, S.T.Peres-Merchancano. Phys. Rev. B, 46, 9780 (1992).
- 7. D.S.Chuu, C.M.Hsiao, W.N.Mei. Phys. Rev. B, 46, 3898 (1992).
- 8. H.Paredes-Gutierres, J.C.Cuero-Yepez, N.Poras-Montenegro. J. Appl. Phys., 75, 5150 (1994).
- 9. C.Y. Hsieh. Chin. Journ. Phys., 38, 478 (2000).
- 10. Y.P.Varshni. Superlatt. Microstruct., 29, 233 (2001).
- 11. M.C.Lin, D.S.Chuu. J. Appl. Phys., 90, 2886 (2001).
- 12. А.Х. Манаселян, А.А. Киракосян. Изв. НАН Армении, Физика, 38, 87 (2003).
- 13. E.M. Kazaryan, L.S. Petrosyan, H.A. Sarkisyan. Phys. E, 16, 174 (2003).
- 14. X.Z. Yuan, K.D. Zhu. Phys. E, 25, 93 (2004).
- 15. G.Li, S.V.Branis, K.K.Bajaj. Phys. Rev. B, 47, 15735 (1993).
- 16. Z.Xiao, J.Zhu, F.He. J. Appl. Phys., 79, 9181 (1996).
- 17. J.M. Ferreyra, P. Bosshard, C.R. Proetto. Phys. Rev. B, 55, 13682 (1997).
- 18. F.J.Ribeiro, A.Latge, M.Pacheco, Z.Barticevic. J. Appl. Phys., 82, 270 (1997).
- 19. V.L. Nguyen, M.T. Nguyen, T.D. Nguyen. Physica B, 292, 153 (2000).
- 20. R.Charrour, M.Bouhassone, M.Fliyou, A.Nougaoui. Physica B, 293, 137 (2000).
- 21. A.Corella-Madueno, R.Rosas, J.L.Marin, R.Riera. J. Appl. Phys., 90, 2333 (2001).
- 22. E.M. Kazaryan, L.S. Petrosyan, H.A. Sarkisyan. Intern. Journ. Mod. Phys. B, 15, 4103 (2001).
- 23. L.Meza-Montes, S.E.Ulloa. Phys. Stat. Sol. (b), 230, 451 (2002).
- 24. A.Kh. Manaselyan, A.A. Kirakosyan. Phys. E, 22, 825 (2004).
- 25. Handbook of Mathematical Functions With Formulas, Graphs and Mathematical Tables, edited by M.Abramowitz and I.A.Stegun. U.S. GPO, Washington D.C., 1964.
- 26. H.X.Jiang. Phys. Rev. B, 35, 9287 (1987).
- 27. S.Adachi. J. Appl. Phys., 58, R1 (1985).

Ա.Խ. ՄԱՆԱՍԵԼՅԱՆ, Ա.Ա. ԿԻՐԱԿՈՍՅԱՆ

Արդյունարար զանգվածի մոտավորությամբ և վարիացիոն մեթոդով հաշվարկված են էլեկտրոնային և խառնուրդային վիճակները ուռուցիկ հատակով քվանտային կետում մագնիսական դաշտում։ Հաշվարկները կատարված են քվանտային կետի կենտրոնում գտնվող խառնուրդի համար։ Ստացված են խառնուրդի կապի էներգիայի կախվածությունները քվանտային կետի շառավորց, փոսի հատակի ուռուցիկության չափից և մագնիսկան դաշտի ինդուկցիայից Gal_xAl_xAs/Gal_xAl_xAs համակարգի համար։

BINDING ENERGY OF HYDROGEN-LIKE IMPURITY IN A QUANTUM DOT WITH CONVEX BOTTOM IN A MAGNETIC FIELD

A.KH. MANASELYAN, A.A. KIRAKOSYAN

Within the framework of effective mass approximation and variational method, electronic and impurity states in a spherical quantum dot with convex bottom in a magnetic field are calculated. Calculations are carried out for the on-center impurity. Dependences of the impurity binding energy on the quantum dot radius, measure of convexity of the bottom of a quantum dot and magnetic field induction are obtained for the $Ga_{1-x}Al_xAs/Ga_{1-y}Al_vAs$ system.